

九州大学工学部 学生員 ○日野 伸一
 九州大学工学部 正員 太田 俊昭
 富士ペースコンクリート 花田 久

1. まえがき

所定の強度を有し、かつ、取り付け・取りはずしを可能とするプレキャストブロックの結合法として、著者は、金属ジョイントによるボルト接合法を考え、それをR.C.桁に適用した場合の一連の実験を行ない、その結果を順次報告してきた。

今回は、本結合法をプレテンションP.C.桁に応用すべく、以下に示すような実験的研究を行なった。プレテンション桁を結合する場合に、最も問題となるのは、その接合端部で 鋼とコンクリートの間に付着が無いことと加えて、P.C.鋼線のすべりによって 導入プレストレスが減少し、接合部の剛性が著しく劣化する可能性が大であることにある。そこで、その解決法として 第一に付着長を極力短縮すること、第二に接合端部の弱小部を補強することに力点を置き、ジョイントメカニズムの効果、一体性等について基礎的考察を試みた。

2. 実験の概要

i) 使用材料および配合

供試体製作に使用したコンクリート材料および配合は、表-1に示すとおりである。

ii) 養生およびプレストレス導入

コンクリート打ちを終了した供試体は、約14時間蒸気養生を行なった後に脱型した。プレストレス導入は、初令2日で、 2.9mm 3本より隠4本を用いて行ない、初期導入引張力は3tとした。

iii) ジョイントおよび供試体の種類

実際の施工では、ジョイント中央で、左右の取付金具を添接して一体化するが、本実験は、接合端部の一体性の効果を純粹に抽出するため図-1に示すような左右一体の取付金具を、ペーストキャッピングしたP.C.桁端の下面に触接し、船直ボルトを締めつけて 結合を完了した。ジョイントは、図-1の(a)～(c)の3種類使用し、コンクリート中に埋め込んだ中16ボルトM1は約1～3tの力(コンクリートとの付着で、締めつけはあまり期待できなかつた)、左右横側の中14ボルトL1は4tの力で締めつけた。なお、試験桁のP.C.鋼線定着状態、使用したジョイントについては、表-3に示すとおりである。また、桁Aは、すべて接合端部から載荷点まで中丸鋼を付加鉄筋として入れ、接合部を補強した。

スランプ (cm)	水セメント比 (%)	細骨材率 (%)	単位量 (kg/m ³)			
			水	セメント	細骨材	粗骨材
3±1	33.3	37.0	150	450	638	1132 3.375

セメント：アサヒペロ
 細骨材：筑後川産、比重2.51, FM2.85
 粗骨材：筑後川産、比重2.60, FM6.90, 最大寸法20mm
 混和剤：マイテ、150

表-1

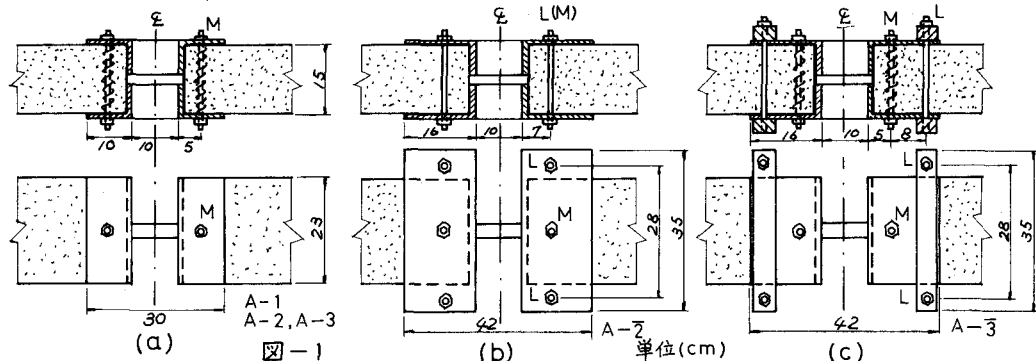


図-1

IV) 曲げ破壊試験

桁の静的曲げ破壊試験は、材令40日以上で図-2に示すように3等分点2点載荷で行なった。各荷重段階で桁のたわみ、コンクリート表面の歪、ひびわれ、破壊荷重を測定して一體桁と比較検討した。なお、プレストレス導入時、ならびに曲げ破壊試験時のコンクリート、P.C.鋼線、付加鉄筋の力学的性質は、表-2に示す。

3. 結果および考察

表-3に各桁のひびわれ荷重および破壊荷重を示している。両者ともに一體桁Dに比べA-1～3は、はるかに小さい。これはA-1～3に使用したジョイント(a)の、コンクリート上下面に接触した鋼板の長さが短く、ボルトの締めつけ力も小さかったために接合面で口が開き、ジョイント部、特に埋め込みボルトMの周りのコンクリートに応力集中をきたし、耐力低下を招いたものと思われる。一方、ジョイント(b)を用いたA-2のひびわれ発生は、一體桁と同じであるが、初亀裂がジョイント端部に発生し、その後の耐力は低下した。これは、ボルト位置が内側に寄り過ぎ、上フランジが変形してセミリジッド効果を生み、また、この部分がプレストレス減少部であったことも原因して、桁の耐力を低下せしめたものと思われる。ジョイント(c)を用いたA-3は、ひびわれ・破壊荷重ともに一體桁以上であった。これは、接合端部のP.C.鋼線をコッターで走着したことにより、付着長が約40cmから10cmに短縮できたこと、また、接合端部の弱小部を包む形でコンクリート上下面の鋼板をボルトで十分締めつけ、一體効果を向上せしめたこと、このため、付加鉄筋の効果が活用され、載荷点近傍でも桁の曲げ剛性が増したためと思われる。

以上の考察は、図-3に示した桁中央点のたわみ、図-4のひびわれ図でも明らかである。従って、曲げを受けるプレテンションP.C.桁の結合法も、力学的には十分可能であると思われる。なお、鋼線走着長減少のためのコッター使用は、施工性を低下させ、cost upにも繋がる。そこで、付着長を縮小する方法として、付着長を約10cmに短縮した結果、剛性の低下したコンクリート接合部は、ボルト締めつけ力と付加鉄筋によって補強する方が、より実際的であると思われる。最後に、本研究に当り、多大なる御援助を賜った九大徳光教授、松下講師、および大学院生井上君に感謝の意を表す。

- (参考文献)
- 1) 太田岩庵・日野：曲げJointに依つて接合されたR.C.桁の破壊強度について、土木学会第30回年次学術講演会
 - 2) 徳光・太田岩庵・日野：中间長接合部と有筋プレキャストPSコンクリートの曲げ性状について、土木学会西部支部昭50年度研究発表会
 - 3) 猪股俊司：プレストレスコンクリートの設計および施工(技術報道)
 - 4) Ohta and Nakazawa : Fundamental Studies on Elastic-Plastic Bending and Shearing of R.C. Beams, Memoirs of the Faculty of Engineering Kyushu Univ. (Vol.33 No.3, Jan. 1974)

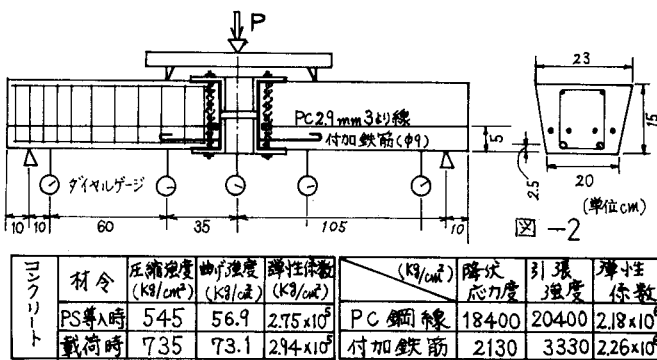


表-2

試験 リ ト	材令	圧縮強度		曲げ強度 (kg/cm²)	弹性係数 (kg/cm²)	降伏 応力 (kg/cm²)	引張 強度 (kg/cm²)	弹性 係数 (kg/cm²)
		(kg/cm²)	(kg/cm²)					
PS導入時	545	56.9	2.75×10^5	PC 鋼線	18400	20400	2.18×10^6	
載荷時	735	73.1	2.94×10^5	付加鉄筋	2130	3330	2.26×10^6	

桁NO	PC鋼線の走着状態	使用したジョイント	ひびわれ荷重(kt)	破壊荷重(kt)
A-1	端部自由		0.80	1.35
A-2	端部にコッター	a	0.80	1.33
A-3	セ固定し、コンクリート中に		0.80	1.20
A-2	埋め込み	b	2.80	3.23
A-3	埋め込み	c	3.60	5.19
D	端部自由		2.80	4.57

表-3

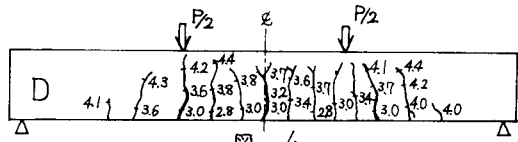
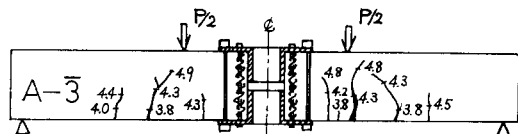
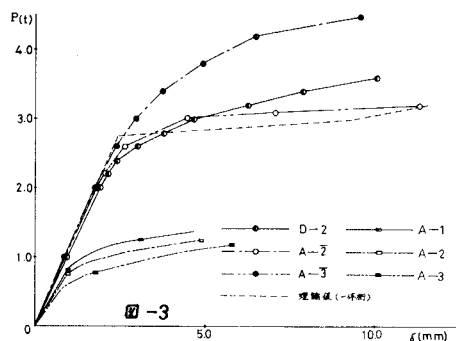


図-4